

Raport z projektu: Symulator tomografu komputerowego



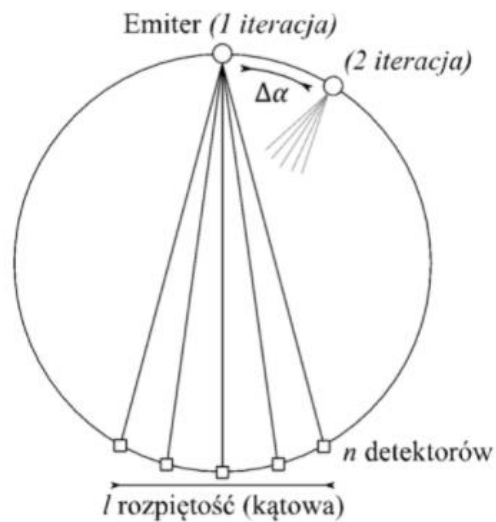
Skład grupy:

Mateusz Matkowski 145432
Damian Mielczarek 145388

Data wykonania:

28.03.2022

A) Zastosowany model tomografu: stożkowy



B) Zastosowany język programowania oraz dodatkowe biblioteki:

Do napisania programu użyliśmy języka python w środowisku Jupyter Notebook.

Dodatkowe biblioteki:

- Numpy
- Skimage
- Math
- Pydicom
- Datetime
- Time
- Ipywidgets
- Warnings

C) Opis głównych funkcji programu:

a) Pozyskiwanie odczytów dla poszczególnych detektorów:

```
20 #przesunięcie emitery i detektorów (model stożkowy)
21 for i in range(steps):
22     #przesunięcie emitery
23     x = center_x + int(radius_x * np.cos(angle))
24     y = center_y + int(radius_y * np.sin(angle))
25     #wyliczenie "położenia kąowego" pierwszego detektora
26     tmpDetectorAngle = m.radians(180 - l/2) + angle
27     detectorStep = m.radians(l / (detectors - 1))
28     for j in range(detectors):
29         #przesunięcie detektorów
30         xDet = center_x + int(radius_x * np.cos(tmpDetectorAngle))
31         yDet = center_y + int(radius_y * np.sin(tmpDetectorAngle))
32         tmpDetectorAngle += detectorStep
33         #wykorzystanie algorytmu Bresenham
34         if(inverse==False):
35             sinog[i][j]=BresenhamAlgorithm(img, x, y, xDet, yDet, inverse)
36         else:
37             sinog = BresenhamAlgorithm(sinog, x, y, xDet, yDet, inverse, img[i][j])
```

W drugiej pętli ustawiamy współrzędne poszczególnych detektorów i używamy algorytmu Bresenham'a do liniowego przejścia przez kolejne pixele obrazu dyskretnego pomiędzy emiterym a detektorem. Funkcja warunkowa ze zmienną 'inverse' determinuje działanie całej funkcji (transformata Radona lub odwrotna transformata Radona).

b) Filtrowanie sinogramu:

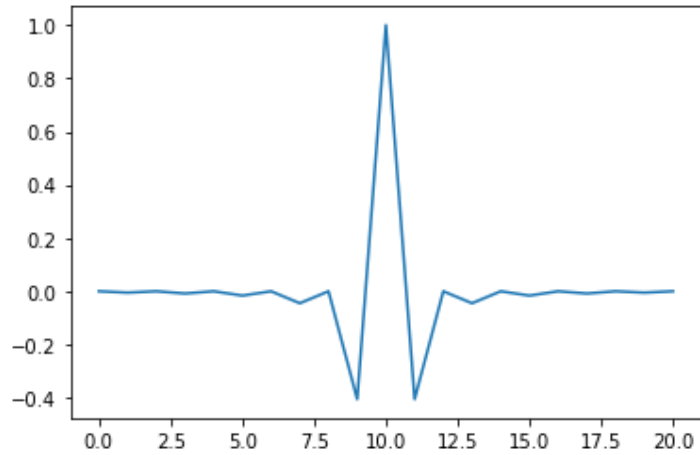
```
1 def filteredSinogram(sinog, kernelSize=21):
2     mask=[]
3     for i in range((int)(kernelSize/2)+1):
4         if(i==0):
5             mask.append(1.0)
6         elif(i%2==0):
7             mask.append(0.0)
8         else:
9             mask.append((-4)/np.pi**2/i**2)
10    mask=mask[::-1]+mask[1:]
11    for i in range(len(sinog)):
12        sinog[i,:]=np.convolve(sinog[i,:],mask, mode='same')
13    return sinog
```

Do filtrowania użyliśmy konwolucji z biblioteki numpy, ustawiając rozmiar maski na 21.

Do wygenerowania maski użyliśmy funkcji:

$$\begin{aligned} h[0] &= 1 \\ h[k] &= 0 && \text{dla } k \text{ parzystych} \\ h[k] &= \frac{-4/\pi^2}{k^2} && \text{dla } k \text{ nieparzystych} \end{aligned}$$

Wykres wartości maski:



- c) Ustalanie jasności poszczególnych punktów obrazu wynikowego oraz jego przetwarzanie końcowe:

Korzystamy z uśredniania w algorytmie Bresenham'a:

```
1 def plotLineHigh(img, suma, dx, dy, x, y, sx, sy, y2, inverse, brightness):
2     #usprawnienie obliczeń
3     a = (dx - dy) * 2
4     b = dx * 2
5     D = b - dy
6     #licznik iteracji
7     it=0
8
9     while y != y2:
10        if(inverse==False):
11            #pobranie koloru
12            suma += img[x][y]
13            it+=1
14        else:
15            #wzmocnienie obrazu przy użyciu sinogramu
16            img[x][y] += brightness
17
18        if D >= 0:
19            x += sx
20            y += sy
21            D += a
22        else:
23            D += b
24            y += sy
25
26    if(inverse==False):
27        return suma/it
28    else:
29        return img
```

Normalizacja:

```
1 def normalize(sinog):
2     maksimum = np.max(sinog)
3     minimum = np.min(sinog)
4     if (maksimum-minimum)!=0:
5         sinog = (sinog-minimum)/(maksimum-minimum)
6     return sinog
```

```
52     #normalizacja oraz poprawa wyniku po odwrotnej transformacie Radona
53     sinog= normalize(sinog**2)**0.5
```

Funkcja normalizacji jest ostatnim krokiem odwrotnej transformaty Radona. W naszym przypadku podnosimy wartości wynikowe odwrotnej transformaty do kwadratu, aby wyegzekwować odwrótywane kształty z obrazu wejściowego. Pierwiastek po normalizacji rozjaśnia piksele poszukiwanych kształtów.

- d) Wyznaczanie wartości miary RMSE na podstawie obrazu źródłowego oraz wynikowego:

```
1 def RootMeanSquaredError(img, img2):
2     err = np.sum((normalize(img) - img2) ** 2)
3     err /= (img.shape[0] * img.shape[1])
4     return m.sqrt(err)
```

Przy czym: img – obraz wejściowy, img2 – obraz wyjściowy.

Normalizujemy obraz wejściowy, żeby błąd był znormalizowany (prawidłowy).

- e) Odczyt i zapis plików DICOM:

Funkcja do wczytywania pliku DICOM, wypisywania wszystkich informacji w nim zawartych oraz wyświetlania znajdującego się tam obrazu:

```
1 def read_dicom(file_name):
2     ds = dcmread(file_name, force=True)
3     print(ds)
4     io.imshow(file_name)
```

Graficzny interfejs do wpisywania informacji o pacjencie i wyboru nazwy pliku:

Dicom save file:	<input type="text" value="test.dcm"/>
Patient name:	<input type="text" value="name"/>
Patient id:	<input type="text" value="id"/>
Image comments:	<input type="text" value="comment"/>
<input type="button" value="Zapisz plik DICOM"/>	

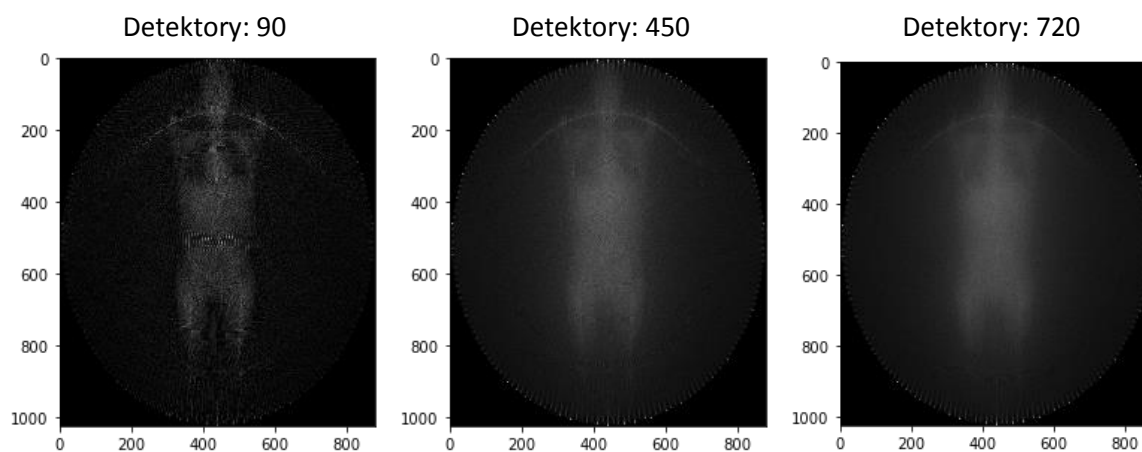
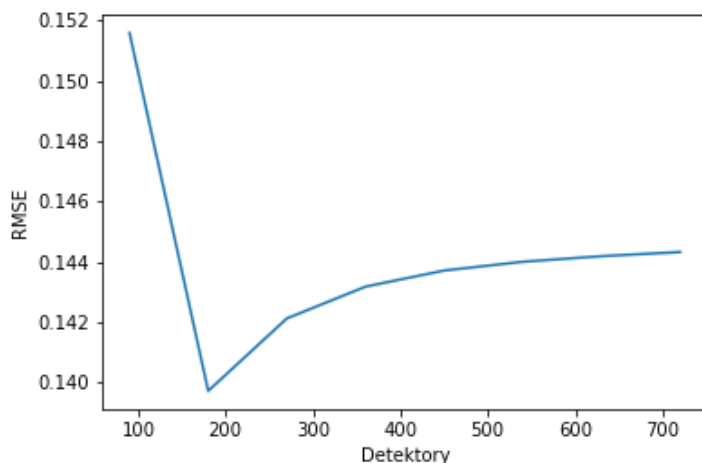
Funkcja do zapisywania obrazu wyjściowego programu i informacji o pacjencie do pliku DICOM:

```
1 def save_as_dicom(file_name, img, patient_data):
2     img_converted = img_as_ubyte(rescale_intensity(img, out_range=(0.0, 1.0)))
3
4     # Populate required values for file meta information
5     meta = Dataset()
6     meta.MediaStorageSOPClassUID = pydicom._storage_sopclass_uids.CTImageStorage
7     meta.MediaStorageSOPInstanceUID = pydicom.uid.generate_uid()
8     meta.TransferSyntaxUID = pydicom.uid.ExplicitVRLittleEndian
9
10    ds = FileDataset(file_name, {}, preamble=b"\0" * 128)
11    ds.file_meta = meta
12
13    ds.is_little_endian = True
14    ds.is_implicit_VR = False
15
16    ds.SOPClassUID = pydicom._storage_sopclass_uids.CTImageStorage
17    ds.SOPInstanceUID = meta.MediaStorageSOPInstanceUID
18
19    ds.PatientName = patient_data["PatientName"]
20    ds.PatientID = patient_data["PatientID"]
21    ds.ImageComments = patient_data["ImageComments"]
22    ds.ContentDate = str(datetime.date.today()).replace('-', '')
23    ds.ContentTime = str(time.time())
24
25    ds.Modality = "CT"
26    ds.SeriesInstanceUID = pydicom.uid.generate_uid()
27    ds.StudyInstanceUID = pydicom.uid.generate_uid()
28    ds.FrameOfReferenceUID = pydicom.uid.generate_uid()
29
30    ds.BitsStored = 8
31    ds.BitsAllocated = 8
32    ds.SamplesPerPixel = 1
33    ds.HighBit = 7
34
35    ds.ImagesInAcquisition = 1
36    ds.InstanceNumber = 1
37
38    ds.Rows, ds.Columns = img_converted.shape
39
40    ds.ImageType = r"ORIGINAL\PRIMARY\AXIAL"
41
42    ds.PhotometricInterpretation = "MONOCHROME2"
43    ds.PixelRepresentation = 0
44
45    pydicom.dataset.validate_file_meta(ds.file_meta, enforce_standard=True)
46
47    ds.PixelData = img_converted.tobytes()
48
49    ds.save_as(file_name, write_like_original=False)
```

D) Wyniki eksperymentów:

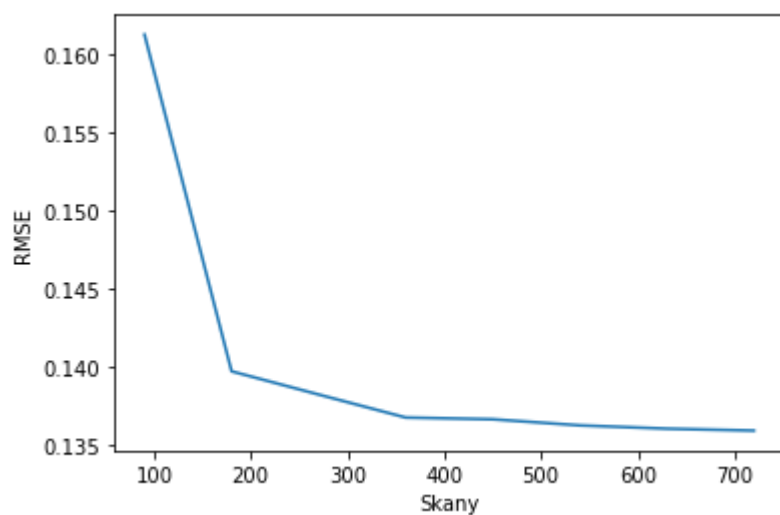
Poniższe wykresy zostały wykonane przy użyciu filtra.

Wykres zależności RMSE od ilości detektorów:

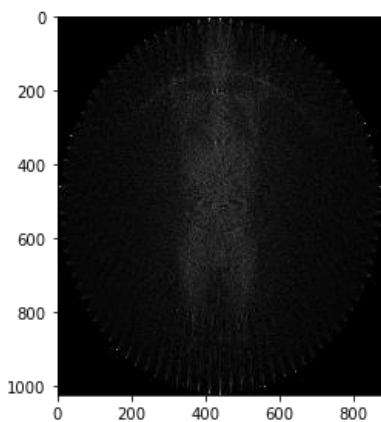


Z początku wartości RMSE gwałtownie maleją, ale od pewnego momentu, przy kolejnych zwiększaniach liczby detektorów, błąd zaczyna wzrastać. Dzieje się tak dlatego, że w pewnym momencie zaczyna pojawiać się iluminacja wokół szkieletu, powstała wskutek nałożenia się jasnych linii na obraz w wyniku odwrotnej transformaty Radona. Mimo pogorszenia się wartości błędów RMSE, jakość obrazu jednak nie ulega degradacji. Ciągłe powiększanie liczby detektorów nie niesie za sobą lepszych rezultatów (jakość obrazu wynikowego nie poprawia się).

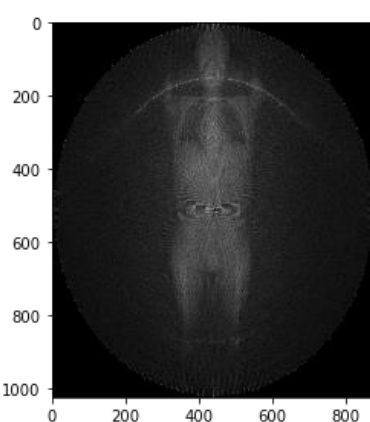
Wykres zależności RMSE od ilości skanów (kroków):



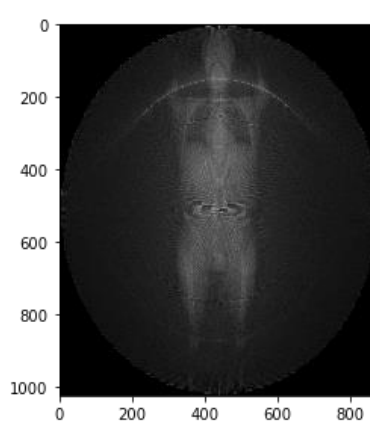
Skany: 90



Skany: 450

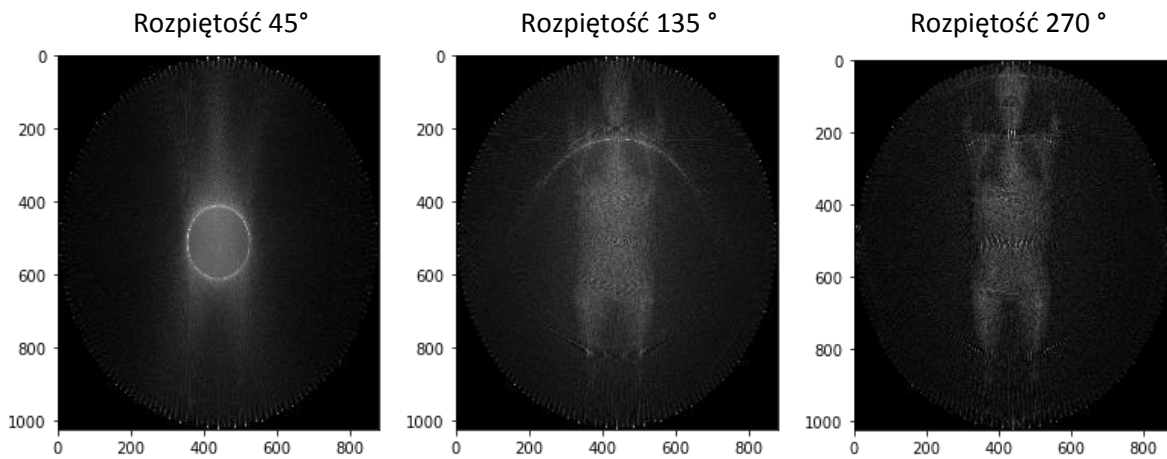
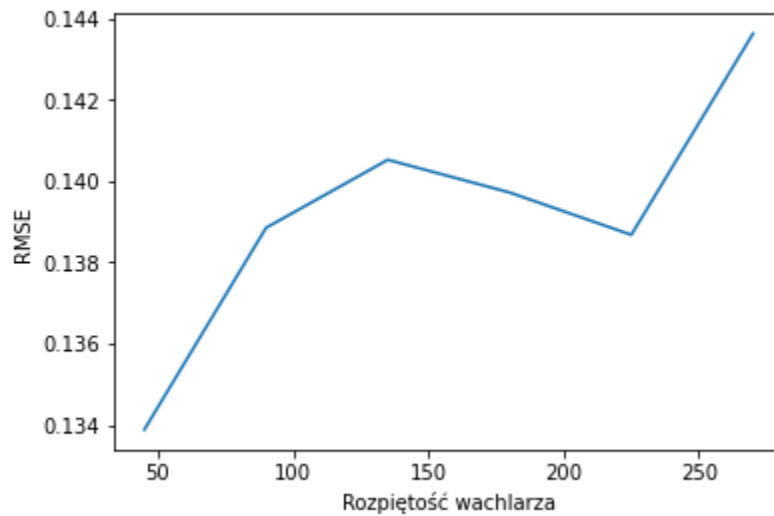


Skany: 720



Według wykresu i obrazów wyjściowych wzrost liczby skanów jest jednoznaczny ze zmniejszaniem się błędu RMSE. Jakość obrazów ulega polepszeniu, przy czym coraz bardziej widoczna jest poświata wokół szkieletu.

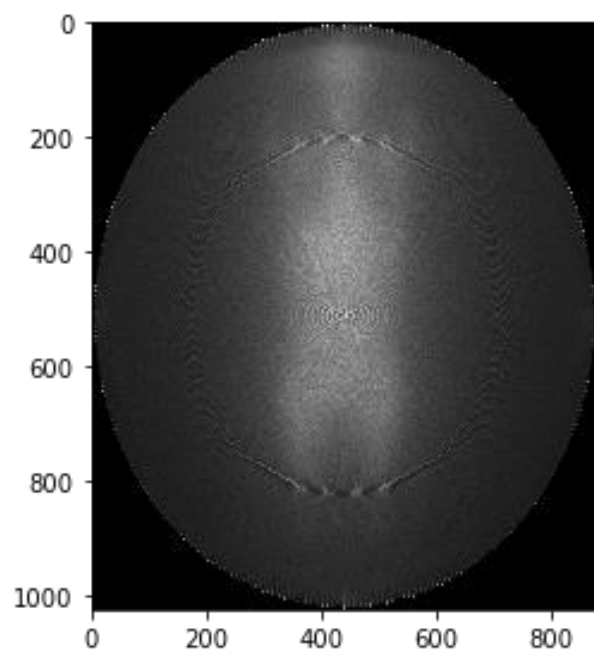
Wykres zależności RMSE od kąta rozpiętości wachlarza:



W ogólności błąd RMSE rośnie wraz ze wzrostem kąta rozpiętości wachlarza. Momentalny spadek widoczny na wykresie może być spowodowany zakłóceniami wynikającymi z jasnej elipsy, która przy większych wartościach rozpiętości się rozplywa. Jakość obrazów rośnie wraz ze wzrostem rozpiętości.

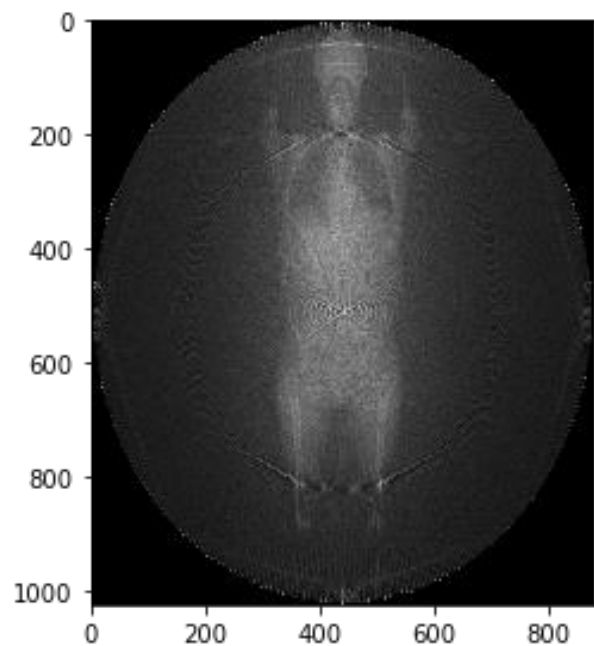
Porównanie wyników symulacji z i bez filtra:

CT_ScoutView.jpg (bez filtra):



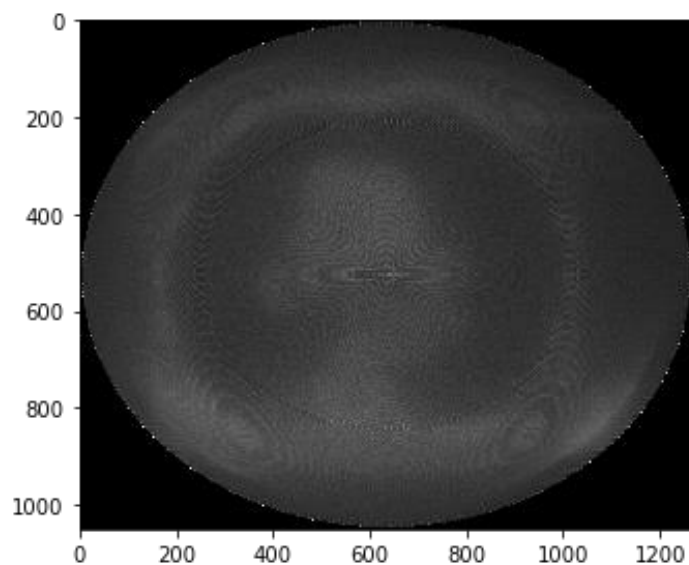
RMSE: 0.17846079036241605

CT_ScoutView.jpg (z filtrem)



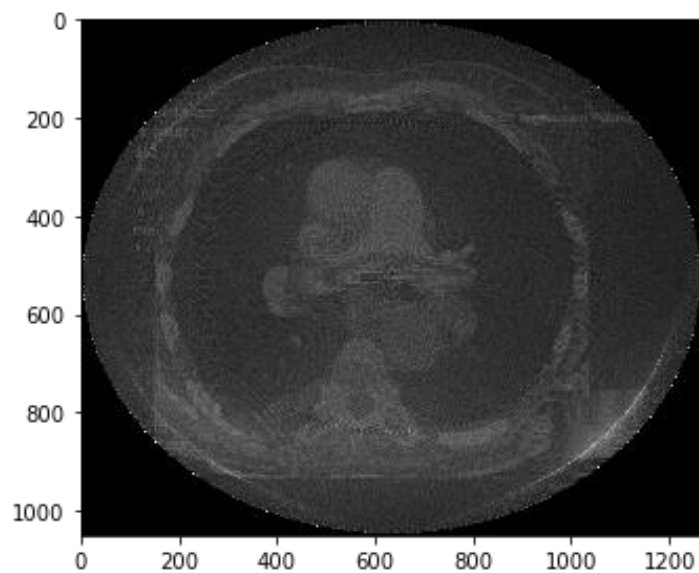
RMSE: 0.15731643521880154

SADDLE_PE-large.jpg (bez filtra)



RMSE: 0.2418653519614973

SADDLE_PE-large.jpg (z filtrem)



RMSE: 0.2314242336063266

Nałożenie filtra pozytywnie wpływa na jakość obrazów wyjściowych i zmniejsza błąd RMSE w każdym przypadku. Przy użyciu filtra można dostrzec więcej szczegółów na obrazach wynikowych, co pomoże przy późniejszej analizie medycznej.